

УДК 577.152.3

## КІНЕТИЧНІ ВЛАСТИВОСТІ $\text{Na}^+$ , $\text{K}^+$ -АТР-ази ЛІМФОЦИТІВ КРОВІ У ХВОРИХ НА РЕВМАТОЇДНИЙ АРТРИТ ТА АНКІЛОЗИВНИЙ СПОНДІЛОАРТРИТ

*P. В. ФАФУЛА, У. П. ЄФРЕМОВА, Н. Е. ЛИЧКОВСЬКА, З. Д. ВОРОБЕЦЬ*

*Львівський національний медичний університет імені Данила Галицького, Україна;  
e-mail: roman\_fafula@ukr.net, vorobets@meduniv.lviv.ua*

**Проведено аналіз кінетичних властивостей уабайнчутливої  $\text{Na}^+$ ,  $\text{K}^+$ -АТР-ази сапонін-перфорованих лімфоцитів периферичної крові донорів та хворих на ревматоїдний артрит (РА) та анкілозивний спонділоартрит (ACA). За оцінкою змін гідролазної активності  $\text{Na}^+$ ,  $\text{K}^+$ -АТР-ази встановлено, що у лімфоцитах крові хворих на RA і ACA первинноактивне транспортування іонів  $\text{Na}^+$  та  $\text{K}^+$  відбувається менш інтенсивно у порівнянні з донорами, але має з ними майже однакову ємність. Константа спорідненості  $\text{Na}^+$ ,  $\text{K}^+$ -АТР-ази до АТР у лімфоцитах крові хворих на RA і ACA перевищує її значення порівняно з донорами у 3,1 і 2,5 раза відповідно. Показано, що в умовах розвитку ревматичної патології в імуноактивних клітинах інгібування активності  $\text{Na}^+$ ,  $\text{K}^+$ -АТР-ази відбувається не за рахунок зменшення числа обертів ензиму, а за рахунок зниження спорідненості уабайнчутливої  $\text{Na}^+$ ,  $\text{K}^+$ -АТР-ази до АТР. Водночас,  $\text{Mg}^{2+}$ -зв'язувальна ділянка уабайнчутливої  $\text{Na}^+$ ,  $\text{K}^+$ -АТР-ази лімфоцитів крові хворих на RA і ACA залишається нативною. Відзначено також, що константа спорідненості  $\text{Na}^+$ ,  $\text{K}^+$ -АТР-ази лімфоцитів крові хворих на RA і ACA до іонів  $\text{Na}^+$  у 2,75 раза нижча її величини у донорів. Досліджено, що  $\text{Na}^+$ ,  $\text{K}^+$ -АТР-аза лімфоцитів крові хворих на RA і ACA зберігає свої нативні рецепторні властивості, а її чутливість до інгібування уабайном не змінюється.**

**Ключові слова:**  $\text{Na}^+$ ,  $\text{K}^+$ -АТР-аза, лімфоцити, ревматоїдний артрит, анкілозивний спонділоартрит.

**Р**евматоїдний артрит (РА) є найрозповсюдженішим запальним аутоімунним захворюванням [1]. На сьогодні відсутні будь-які специфічні лабораторні тести, на основі яких можна встановити діагноз РА. Як і у разі інших автоімунних захворювань діагноз базується на сукупності характерних клінічних симптомів, даних лабораторного обстеження та рентгенологічного дослідження [2].

Анкілозивний спонділоартрит (ідіопатичний анкілозивний спонділоартрит, хвороба Бехтерева) (ACA) – хронічне системне запальне захворювання сполучної тканини з переважним ураженням суглобів і зв'язок хребта, а також периферійних суглобів із схильністю до прогресуючого перебігу. У світі, зокрема в Україні, останніми роками спостерігається зростання показників розповсюдження ACA [3, 4].

Згідно із сучасними уявленнями, значна роль у розвитку і перебігу артритів належить CD3+-T-лімфоцитам. Підвищення активності протеолітичних ензимів і простагландинів у разі активації моноцитів/макрофагів призводить до місцевого запалення та деструкції суглобового хряща і кістки [5]. Однак у межах цієї теорії досі не існує єдиної думки про значення

окремих патогенетичних ланок і прозапальних чинників у механізмах розвитку артритів. Як відомо, в основі РА та його системних проявів лежать імунологічні механізми, що реалізують свою дію на рівні мікроциркуляторного русла у вигляді інтенсивного накопичення імунних комплексів, імуноглобулінів та комплементу [6]. Це призводить до збільшення адгезії формених елементів крові із виділенням медіаторів запалення, які посилюють мікроциркуляторні порушення [7]. Тому актуальними є питання, які стосуються саме імунопатології ревматичних захворювань та механізмів їх виникнення і розвитку.

З огляду на це, метою роботи є дослідження кінетичних характеристик АТР-гідролазної реакції за участю  $\text{Na}^+$ ,  $\text{K}^+$ -АТР-ази сапонін-перфорованих лімфоцитів крові донорів та хворих на РА і ACA.

### Матеріали і методи

Дослідження проводили на лімфоцитах периферичної крові донорів та хворих на РА та ACA, коли вони поступали у ревматичне відділення Львівської обласної клінічної лікарні. Усіх хворих розділено на дві дослідні групи: хворі на РА ( $n = 14$ ) і хворі на ACA

( $n = 14$ ). Групу контролю становили практично (клінічно) здорові донори, репрезентативні за віком і статтю ( $n = 15$ ).

**Виділення лімфоцитів.** Моноядерні лімфоцити крові людини виділяли з гепаринізованої крові хворих і донорів у градієнти густини фікол-триумбраstu ( $\rho = 1,08 \text{ г/см}^3$ ) [8]. Цілісність і життєздатність лімфоцитів, яка в усіх дослідах становила не менше 95%, оцінювали за забарвленням трипановим синім [9].

Для permeабілізації мембрани лімфоцитів крові та розкриття латентної  $\text{Na}^+$ ,  $\text{K}^+$ -ATP-азної активності до супензії лімфоцитів додавали сапонін. Ця методика ґрунтуються на роботах, виконаних на лімфоцитах раніше [10]. Лімфоцити інкубували протягом 10 хв за помірного струшування в розчині, який містив сапонін у концентрації 0,2%. Вміст протеїну в лімфоцитарній суміші визначали методом Лоурі [11].

**Визначення  $\text{Na}^+$ ,  $\text{K}^+$ -ATP-ази.** Визначення загальної ATP-азної ензиматичної активності лімфоцитів проводили при  $37^\circ\text{C}$  у середовищі інкубації (об'єм – 1 мл) такого складу (мМ): 120  $\text{NaCl}$ , 30  $\text{KCl}$ , 5  $\text{MgCl}_2$ , 1,5 ATP, 1 ЕГТА, 1  $\text{NaN}_3$  (інгібітор мітохондріальної ATP-ази), 20 Нерес-трис-буфер (рН 7,4), 0,1 мкМ тапсигаргін (селективний інгібітор  $\text{Ca}^{2+}$ ,  $\text{Mg}^{2+}$ -ATP-ази Е(С)ПР) [12]. Наявність  $\text{Ca}^{2+}$ -хелатора ЕГТА в середовищі інкубації забезпечувало зв'язування в ньому ендогенного  $\text{Ca}^{2+}$ . Реакцію ініціювали внесенням до інкубаційного середовища аліквоти лімфоцитарної суміші (100 мкл); кількість протеїну у пробі не перевищувала 50–100 мкг/мл, тривалість інкубації – 1–15 хв. Зупиняли реакцію додаванням 1 мл охолодженого стоп-розчину: 1,5 М натрій ацетату, 3,7% формальдегіду, 14% етанолу, 5% TXO (рН = 4,3). Супензію центрифугували (10 хв, 1600 g) і в одержаному супернатанті визначали вміст  $P_i$ . Кількість продукту реакції визначали за методом [15] і виражали у мкмоль  $P_i/\text{хв}\cdot\text{мг}$  протеїну.

Базальну  $\text{Mg}^{2+}$ -ATP-азну активність лімфоцитів визначали в аналогічному середовищі інкубації, але у присутності 1 мМ уабайну – селективного інгібітора  $\text{Na}^+$ ,  $\text{K}^+$ -ATP-ази [14, 15]. Уабайнчутливу  $\text{Na}^+$ ,  $\text{K}^+$ -ATP-азну активність обчислювали за різницею між величиною загальної ATP-азної і базальної  $\text{Mg}^{2+}$  активності.

У дослідах на неензиматичний гідроліз ATP як контроль використовували стандартне середовище інкубації, яке не містило досліджуваної проби. Кількість ендогенно-

го  $P_i$  у лімфоцитарній суміші вимірювали проти контролю, яким слугувала супензія лімфоцитів у фізіологічному розчині.

**Кінетичний аналіз.** Дослідження кінетичних властивостей  $\text{Na}^+$ ,  $\text{K}^+$ -активованої,  $\text{Mg}^{2+}$ -залежної ATP-гідролазної реакції проводили у стандартному середовищі інкубації, що було модифіковане за фізико-хімічними характеристиками чи складом відповідних компонентів (час інкубації, кількість протеїну лімфоцитарної суміші у пробі, концентрації ATP,  $\text{Na}^+$  ( $\text{K}^+$ ),  $\text{Mg}^{2+}$ , уабайну). Усі експерименти з вивчення властивостей  $\text{Na}^+$ ,  $\text{K}^+$ -ATP-азої реакції проводили в режимі початкової швидкості  $V_0$  (лінійність накопичення  $P_i$  у часі).

Залежність активності  $\text{Na}^+$ ,  $\text{K}^+$ -ATP-ази від вмісту протеїну в лімфоцитарній суміші вивчали в діапазоні концентрацій від 25 до 200 мкг протеїну/мл.

Уявні кінетичні параметри, які характеризують реакцію вивільнення  $P_i$  під час  $\text{Na}^+$ ,  $\text{K}^+$ -активованого,  $\text{Mg}^{2+}$ -залежного гідролізу ATP – максимальну миттєву швидкість реакції  $V_0$ , максимальну (платову) кількість утворення продукту реакції  $P_{\max}$  та характеристичний час реакції (період напівнасичення)  $\tau$  визначали як описано у статті [16]. Уявні кінетичні параметри, які характеризують  $\text{Na}^+$ ,  $\text{K}^+$ -активовану,  $\text{Mg}^{2+}$ -залежну ATP-гідролазну реакцію – константу активації  $\text{Mg}^{2+}$ ,  $\text{K}^+$  ( $K_{\text{Mg}^{2+}}$ ,  $K_{\text{K}^+}$ ), константу Міхаеліса ( $K_{\text{mATP}}$ ) та початкову максимальну швидкість реакції гідролізу ATP за  $\text{Mg}^{2+}$ ,  $\text{K}^+$  ( $V_{\text{Mg}^{2+}}$ ,  $V_{\text{K}^+}$ ) і за ATP ( $V_{\text{ATP}}$ ) визначали за методом Лайнуївера-Берка [17, 18]. Залежність швидкості гідролізу від досліджуваних реагентів реакції (ATP та  $\text{Mg}^{2+}$ ,  $\text{Na}^+$  ( $\text{K}^+$ )), будували у координатах:  $\{1/V \text{ від } 1/S\}$ , де S – задана концентрація реагенту (ATP,  $\text{Mg}^{2+}$  чи  $\text{Na}^+$  ( $\text{K}^+$ )), а  $V$  – швидкість ензиматичного гідролізу ATP при заданій концентрації ATP,  $\text{Mg}^{2+}$  чи  $\text{Na}^+$  ( $\text{K}^+$ ) відповідно.

Для визначення ефективності впливу уабайну на  $\text{Na}^+$ ,  $\text{K}^+$ -ATP-азну активність (уявної константи інгібування ( $I_{0,5}$ ) та коефіцієнта Хілла ( $n_H$ )) лінеаризовані криві концентраційних залежностей будували у координатах Хілла  $\{\lg[(A_0 - A)/A]; \lg[I]\}$  відповідно до емпіричного рівняння Хілла:

$$\lg[(A_0 - A)/A] = -n_H \lg I_{0,5} + n_H \lg, \quad [II]$$

де  $A_0$  та  $A$  – питома активність ензиму за відсутності та у присутності в середовищі інкубації уабайну в концентрації I.

Кінетичні та статистичні розрахунки проводили в режимі програмного забезпечення MS

Office. Результати досліджень обробляли методами варіаційної статистики з використанням *t*-критерія Стьюдента. Рівняння прямої лінії, що найкраще апроксимує експериментальні дані, розраховували методом найменших квадратів. Абсолютне значення коефіцієнта кореляції *r* становило 0,90–0,99. Достовірність розрахованих параметрів прямої перевіряли за *F*-критерієм Фішера: достовірною вважали апроксимацію за якої  $P \leq 0.05$ .

У дослідах використовували реактиви ATP, Herpes, Tris, уабайн, тапсигаргін, EGTA (Sigma, США), Saponin (*Quillaja Saponaria Molina* pract.; Acros organics, Belgium). Усі інші реактиви були вітчизняного виробництва кваліфікації чда та хч.

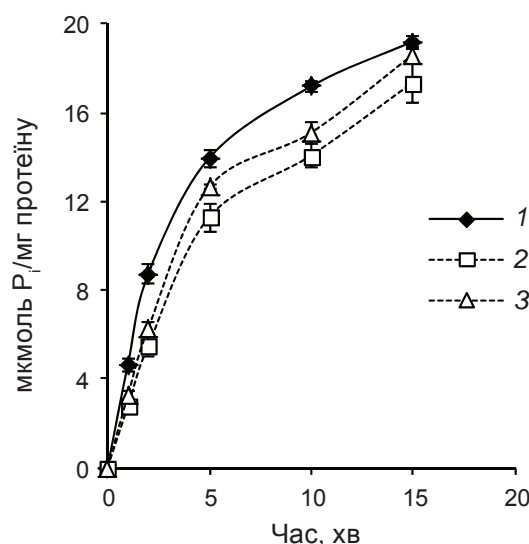
## Результати та обговорення

Кінетичний аналіз реакції вивільнення  $P_i$  під час  $Na^+$ ,  $K^+$ -активованого,  $Mg^{2+}$ -залежного гідролізу АТР лімфоцитами крові. З метою вивчення особливостей та механізму роботи  $Na^+$ ,  $K^+$ -АТР-ази визначали максимальну миттєву швидкість реакції ( $V_0$ ), максимальну (платову) кількість утворення продукту реакції ( $P_{max}$ ) та характеристичний час реакції ( $\tau$ ). Для встановлення цих кінетичних параметрів  $Mg^{2+}$ -залежного гідролізу АТР, який каталізується  $Na^+$ ,  $K^+$ -АТР-азою лімфоцитів, досліджували динаміку накопичення продукту АТР-гідролазної реакції. Для цього суспензію лімфоцитів інкубували у стандартному середовищі інкубації протягом різних проміжків часу від 1-ї до 15-ти хв.

Як видно (рис. 1), кінетичні криві  $\text{Na}^+$ ,  $\text{K}^+$ -активованого,  $\text{Mg}^{2+}$ -залежного гідролізу АТР сапонін-перфорованими лімфоцитами, мають тенденцію до насичення. Кількість вивільненого  $\text{P}_i$  у баїнчутливою  $\text{Na}^+$ ,  $\text{K}^+$ -АТР-азою лімфоцитів хворих на РА та АСА дещо нижча у порівнянні з донорами.

Аналіз одержаних результатів показав, що кінетика  $\text{Na}^+$ ,  $\text{K}^+$ -активованого,  $\text{Mg}^{2+}$ -залежного гідролізу АТР, каталізованого сапонін-перфорованими лімфоцитами, узгоджується із закономірностями реакції нульового порядку в діапазоні від 0 до 5 хв (у цьому інтервалі часу графік залежності  $P_i$  від періоду інкубації є практично лінійним). Тому у подальших експериментах тривалість інкубації лімфоцитів і відповідно реакції гідролізу АТР становила 5 хв.

Шляхом лінеаризації даних у координатах  $P/t$  від  $P$  обчислено основні кінетичні характеристики реакції  $\text{Na}^+$ ,  $\text{K}^+$ -активованого,



*Рис. 1. Динаміка вивільнення  $P_i$  у процесі  $Na^+$ ,  $K^+$ -активованого,  $Mg^{2+}$ -залежного гідролізу ATP сапонінперфорованими лімфоцитами крові донорів (1) і хворих на PA (2) та ACA (3), ( $M \pm m$ ,  $n = 4-6$ )*

$Mg^{2+}$ -залежного гідролізу ATP сапонін-перфорованими лімфоцитами (табл. 1, рис. 2).

Так, за відсутності вірогідної різниці величини  $P_{max}$  гідролізу АТР сапонін-перфорованими лімфоцитами, виділеними у донорів та хворих на РА і АСА, нами показано, що значення  $V_0$  у хворих на РА та АСА істотно відрізняється від контрольної групи. На основі цих даних ми припускаємо, що у лімфоцитах крові хворих на РА і АСА транспортування  $\text{Na}^+$  та  $\text{K}^+$  крізь мембрани відбувається повільніше і менш активно, але характеризується практично однаковою ємністю.

Залежність початкової швидкості  $Na^+$ ,  $K^+$ -активованого,  $Mg^{2+}$ -залежного гідролізу АТР лімфоцитами крові від вмісту протеїну в лімфоцитарній суміші. З'ясовано, що поступове підвищення концентрації лімфоцитарного протеїну в середовищі інкубації спричинює зростання  $V_0$   $Na^+$ ,  $K^+$ -АТР-азної реакції, яка є максимальна при 0,15 мг/мл і надалі вірогідно не змінюється (рис. 3).

Залежність утворення  $P_i$  від вмісту протеїну в інкубаційному середовищі має одинаковий характер як для донорів, так і для хворих на РА та АСА. Проте початкова швидкість реакції  $Na^+, K^+$ -активованого,  $Mg^{2+}$ -залежного гідролізу АТР у хворих на РА та АСА вірогідно відрізняється від  $V_0$  здорових донорів.

Кінетичний аналіз активності  $\text{Na}^+$ ,  $\text{K}^+$ -активованого,  $\text{Mg}^{2+}$ -залежного гідролізу АТР

Таблиця 1. Кінетичні параметри  $\text{Na}^+$ ,  $\text{K}^+$ -активованого,  $\text{Mg}^{2+}$ -залежного гідролізу ATP сапонін-перфорованими лімфоцитами крові донорів і хворих на PA та ACA ( $M \pm m$ ,  $n = 4-6$ )

Кінетичні параметри	Донори	Хворі на	
		PA	ACA
$V_0$ , мкмоль $\text{P}_i/\text{хв}\cdot\text{мг}$ протеїну	$6,08 \pm 0,45$	$3,24 \pm 0,29$ **	$3,88 \pm 0,29$ **
$P_{\max}$ , мкмоль $\text{P}_i/\text{мг}$ протеїну	$25,00 \pm 1,00$	$29,13 \pm 0,91$	$28,27 \pm 2,43$
$\tau$ , хв	$4,18 \pm 0,51$	$9,10 \pm 0,53$ **	$7,37 \pm 1,18$ *

$V_0$  – максимальна миттєва швидкість реакції,  $P_{\max}$  – максимальна (платова) кількість продукту реакції,  $\tau$  – характеристичний час реакції (період напівнасичення). Зміни вірогідні порівняно з контрольною групою; \*  $P < 0,05$ , \*\*  $P < 0,01$ , \*\*\*  $P < 0,001$

лімфоцитами крові від концентрації ATP. Згідно з результатами каталітичного титрування суспензії лімфоцитів ATP у діапазоні концентрацій від 0,1 до 2,0 мМ (за сталої концентрації  $\text{Mg}^{2+}$  5 мМ), відбувається монотонне збільшення активності уабайнчутливої  $\text{Na}^+$ ,  $\text{K}^+$ -ATP-ази з виходом на плато (рис. 4). Видно, що в усьому діапазоні досліджуваних концентрацій ATP активність  $\text{Na}^+$ ,  $\text{K}^+$ -ATP-ази хворих на PA та ACA знижена у порівнянні з групою донорів.

Для з'ясування можливого механізму зміни активності  $\text{Na}^+$ ,  $\text{K}^+$ -ATP-ази в імунокомпетентних клітинах хворих на PA і ACA проведено визначення основних кінетичних параметрів  $\text{Na}^+$ ,  $\text{K}^+$ -активованого,  $\text{Mg}^{2+}$ -залежного гідролізу (рис. 5). Так, криві залежностей  $\{1/V; 1/[ATP]\}$  відрізняються тан-

генсом нахилу і перетинають вісь ординат в одній точці. Ця залежність відповідає конкурентному типу інгібування ензиму. Шляхом лінеаризації одержаних даних у координатах Лайнуївера–Берка визначено основні кінетичні параметри  $\text{Na}^+$ ,  $\text{K}^+$ -активованого,  $\text{Mg}^{2+}$ -залежного гідролізу ATP-сапонін-перфорованими лімфоцитами крові донорів і хворих на PA та ACA (табл. 2).

Величини  $K_{ATP}$  знаходяться в субмілімолярному діапазоні концентрацій, що відповідає фізіологічній концентрації Mg·ATP у цитоплазмі. Розрахунок кінетичних параметрів уабайнчутливої  $\text{Na}^+$ ,  $\text{K}^+$ -ATP-азої активності свідчить, що  $V_{\max}$  гідролізу ATP сапонін-перфорованими лімфоцитами крові донорів і хворих на PA та ACA практично не відрізняється. Водночас, констан-

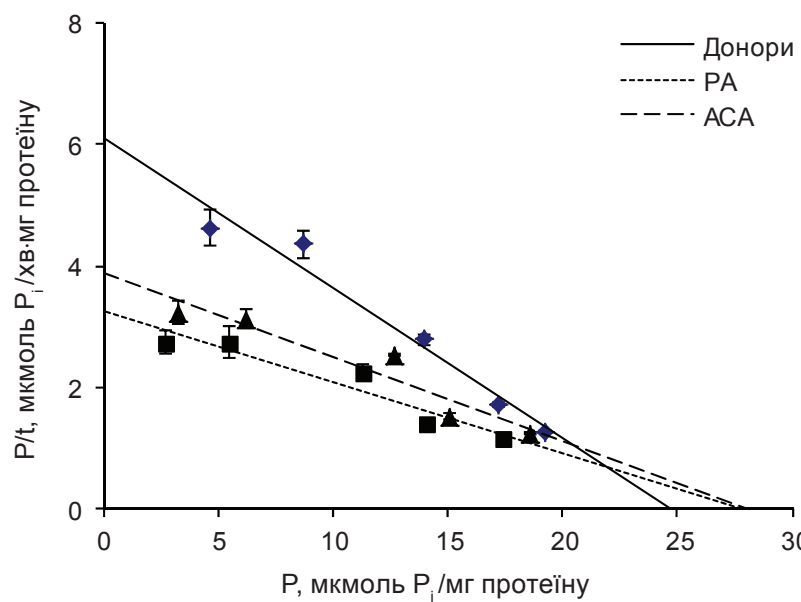


Рис. 2. Лінеаризація кривих накопичення  $P_i$  у процесі  $\text{Na}^+$ ,  $\text{K}^+$ -активованого,  $\text{Mg}^{2+}$ -залежного гідролізу ATP сапонін-перфорованими лімфоцитами крові донорів і хворих на PA та ACA у координатах  $P/t$ ;  $P$  ( $n = 4-6$ ;  $r > 0,9$ ;  $F < 0,02$ )

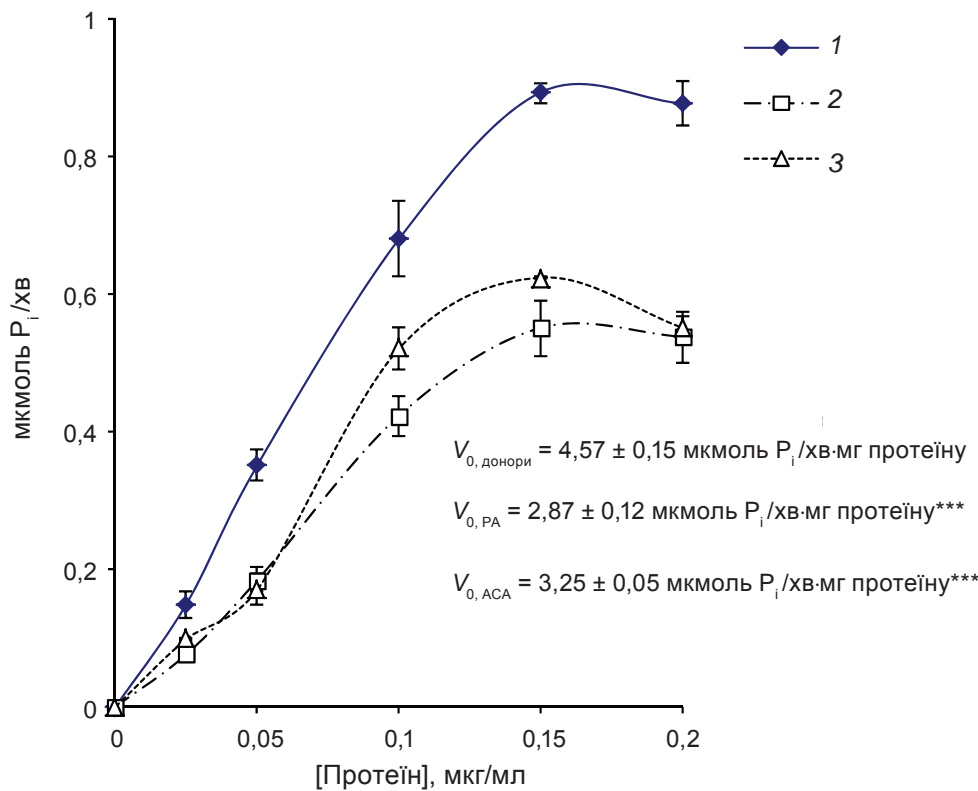


Рис. 3. Залежність початкової швидкості реакції  $Na^+$ ,  $K^+$ -активованого,  $Mg^{2+}$ -залежного гідролізу ATP сапонінперфорованими лімфоцитами крові донорів (1) і хворих на PA (2) та ACA (3) від вмісту протеїну ( $M \pm m$ ,  $n = 4-6$ ). Зміни вірогідні порівняно з контрольною групою, \*\*\* $P < 0,001$

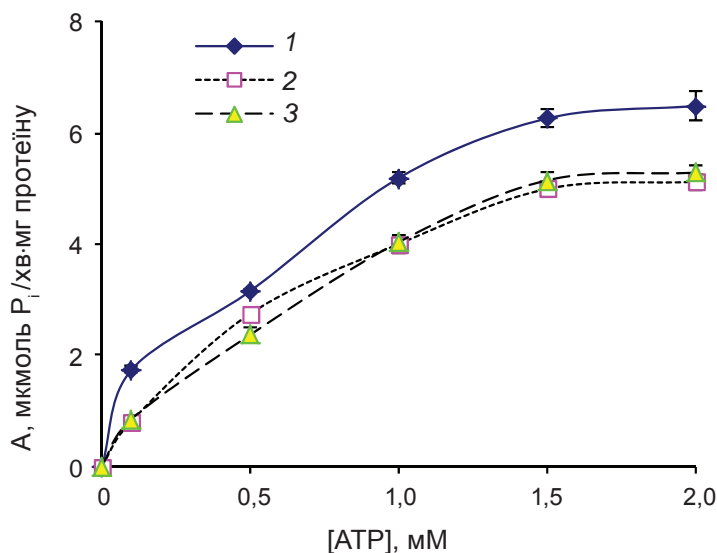


Рис. 4. Вплив різних концентрацій ATP на активність уабайнчутливої  $Na^+$ ,  $K^+$ -ATP-ази сапонінперфорованих лімфоцитів крові донорів (1) і хворих на PA (2) та ACA (3), ( $M \pm m$ ,  $n = 4-6$ )

та спорідненості  $Na^+$ ,  $K^+$ -ATP-ази до ATP у лімфоцитах крові хворих на PA та ACA вища у 3,1 і 2,5 раза відповідно у порівнянні із донорами.

Отже, за інтерпретації одержаних даних (з урахуванням кінетичних параметрів), ми дійшли висновку, що під час розвитку ревматичної патології в імунокомпетентних

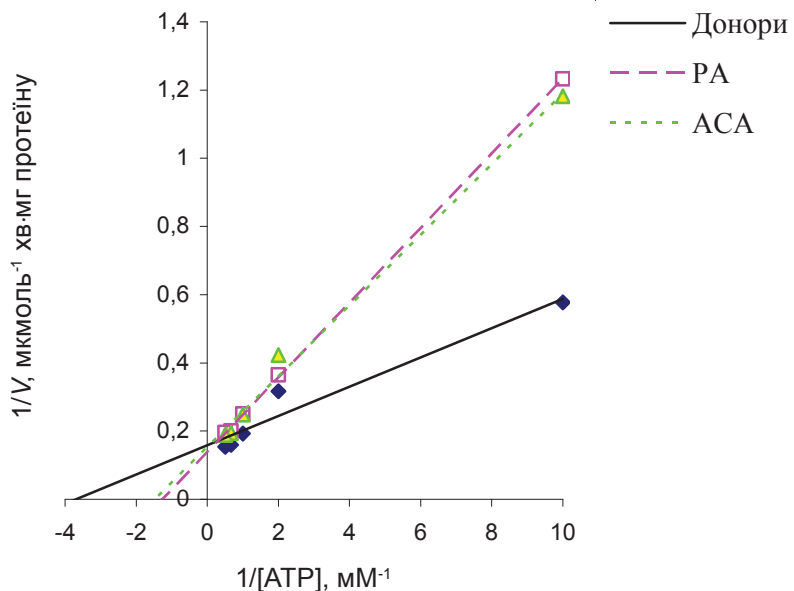


Рис. 5. Лінеаризація концентраційних кривих, наведених на рис. 4, у координатах Лайнуївера—Берка, де  $V$  — уабайнчутлива  $\text{Na}^+$ ,  $\text{K}^+$ -ATP-азна активність сапонінперфорованих лімфоцитів крові донорів і хворих на PA та ACA, ( $n = 4-6$ ;  $r > 0,95$ ;  $F < 0,005$ )

клітинах інгібування активності  $\text{Na}^+$ ,  $\text{K}^+$ -ATP-ази відбувається не за рахунок зменшення числа обертів ензиму, а внаслідок зниження спорідненості уабайнчутливої  $\text{Na}^+$ ,  $\text{K}^+$ -ATP-ази до ATP. Дослідниками показано що уявна спорідненість екто-ATP-ази лімфоцитів периферичної крові до ATP у хворих на хронічну лімфатичну лейкемію значно нижча, ніж спорідненість до ATP у нормі [19]. Водночас, трансформовані Т-лімфоцити виявляють вищу спорідненість до субстрату порівняно з нетрансформованими [20]. Оскільки центр гідролізу ATP локалізований на цитоплазматичній поверхні мембрани, то ми припускаємо, що однією з можливих причин конкурентного інгібування може бути вплив на  $\text{Na}^+$ ,  $\text{K}^+$ -ATP-азу з боку інших патологічних змін і процесів у лімфоцитах при ревматичній патології. Під час запалення або

дії цитотоксичних факторів у позаклітинному оточенні можуть створюватися високі локальні концентрації ATP [21, 22]. Можливо, такі зміни концентрації ATP і ведуть до зміни спорідненості уабайнчутливої  $\text{Na}^+$ ,  $\text{K}^+$ -ATP-ази лімфоцитів крові до субстрату. З іншого боку відомо, що стимуляція лімфоцитів антигенами запускає каскад енергетично-залежних процесів, які ведуть до перерозподілу макроергів у клітині, з чим також можуть бути пов'язані зміни спорідненості субстрату до уабайнчутливої  $\text{Na}^+$ ,  $\text{K}^+$ -ATP-ази лімфоцитів периферичної крові.

*Кінетичний аналіз зміни активності  $\text{Na}^+$ ,  $\text{K}^+$ -активованого,  $\text{Mg}^{2+}$ -залежного гідролізу ATP лімфоцитами крові від концентрації іонів  $\text{Mg}^{2+}$ .* Відомо, що крім ATP для функціонування  $\text{Na}^+$ ,  $\text{K}^+$ -ATP-ази необхідним є магній, який діє як кофактор. Іони  $\text{Mg}^{2+}$  утворюють хелатний ком-

Таблиця 2. Кінетичні параметри, які характеризують  $\text{Na}^+$ ,  $\text{K}^+$ -активований,  $\text{Mg}^{2+}$ -залежний гідроліз ATP сапонінперфорованими лімфоцитами крові донорів і хворих на PA та ACA від концентрації ATP ( $M \pm m$ ,  $n = 4-8$ )

Кінетичні параметри	Донори	Хворі на	
		PA	ACA
$V_{\max}$ , мкмоль $\text{P}_i/\text{хв}\cdot\text{мг}$ протеїну	$6,30 \pm 0,14$	$7,46 \pm 0,79$	$6,51 \pm 0,28$
$K_{\text{ATP}}$ , мМ	$0,27 \pm 0,01$	$0,84 \pm 0,15$ ***	$0,68 \pm 0,04$ **

$V_{\max}$  — початкова максимальна активність ензиму,  $K_{\text{ATP}}$  — константа Міхаеліса за ATP. Зміни вірогідні відносно групи контролю \*\*  $P < 0,01$ , \*\*\*  $P < 0,001$

плекс Mg·ATP, який є субстратом ензиматичної реакції.  $Mg^{2+}$  взаємодіє з фосфатними групами ATP, поляризує їх і, таким чином, полегшує нуклеофільну атаку на термінальний  $\gamma$ -фосфат. Також  $Mg^{2+}$  зв'язується з регуляторним центром  $Na^+$ ,  $K^+$ -ATP-ази [23].

Досліди з вивчення впливу  $Mg^{2+}$  на  $Na^+$ ,  $K^+$ -ATP-азну активність сапонінперфорованих лімфоцитів крові проводили в діапазоні концентрацій  $MgCl_2$  від 0 до 7 мМ (за сталої концентрації ATP 1,5 мМ). Як видно (рис. 6), крива, яка показує залежність активності уабайнчутливої  $Na^+$ ,  $K^+$ -ATP-ази лімфоцитів крові від вмісту  $Mg^{2+}$  в інкубаційному середовищі, має виражений куполоподібний вигляд. Графіки залежності  $Na^+$ ,  $K^+$ -ATP-азної активності сапонінперфорованих лімфоцитів крові хворих на PA та ACA мають схожий вигляд. Результати досліджень, наведені на рис. 6, свідчать, що максимальне значення активності уабайнчутливої  $Na^+$ ,  $K^+$ -ATP-ази спостерігається при 5 мМ  $MgCl_2$ .

Графіки залежності уабайнчутливої  $Na^+$ ,  $K^+$ -ATP-азної активності лімфоцитів крові донорів і хворих на PA та ACA від концентрації  $Mg^{2+}$  у висхідній частині кривих лінеаризовано у координатах Лайнуївера–Берка (рис. 7).

Як видно (рис. 7), криві залежностей  $\{1/V; 1/[Mg^{2+}]\}$  практично не відрізняються тангенсом нахилу і перетинають вісь ординат і вісь абсцис в одній точці. Розрахунок кінетичних характеристик уабайнчутливої  $Na^+$ ,  $K^+$ -ATP-азної активності лімфоцитів крові свідчить, що початкова максимальна швидкість гідролізу ATP та уявна константа активації  $Mg^{2+}$  у хворих на PA та ACA істотно не відрізняються від донорів (табл. 3).

Отже, при ревматичній патології  $Mg^{2+}$ -зв'язувальна ділянка уабайнчутливої  $Na^+$ ,  $K^+$ -ATP-ази лімфоцитів залишається нативною.

*Кінетичний аналіз активності  $Na^+$ ,  $K^+$ -активованого,  $Mg^{2+}$ -залежного гідролізу ATP лімфоцитами крові від співвідношення концентрації іонів  $Na^+$  і  $K^+$ .* При вивченні впливу різних концентрацій  $Na^+$  та  $K^+$  на питому ензиматичну активність уабайнчутливої  $Na^+$ ,  $K^+$ -ATP-ази частину NaCl в інкубаційному середовищі замінювали на KCl (сумарна концентрація іонів  $Na^+ + K^+$  = 150 мМ). Графік залежності  $Na^+$ ,  $K^+$ -ATP-ази лімфоцитів крові донорів та хворих на PA і ACA має типовий куполоподібний вигляд (рис. 8). Оптимальним для функціонування ензиму в інкубаційному середовищі є співвідношення іонів 125  $Na^+$  : 25  $K^+$ . У разі відсутності одного з іонів у середовищі інкубації  $Na^+$ ,  $K^+$ -ATP-аза не тестується.

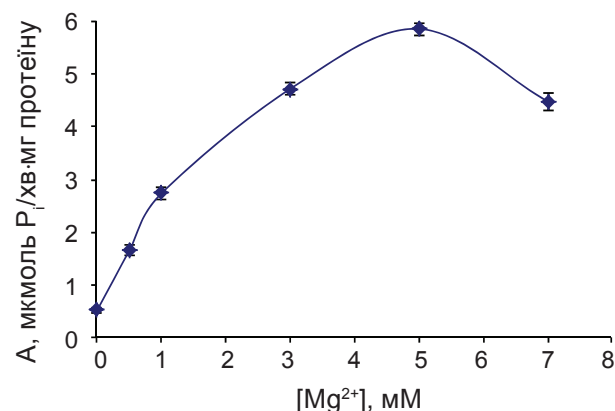


Рис. 6. Вплив різних концентрацій  $Mg^{2+}$  на активність уабайнчутливої  $Na^+$ ,  $K^+$ -ATP-ази сапонінперфорованих лімфоцитів крові донорів ( $M \pm m$ ,  $n = 4$ )

Графіки залежності уабайнчутливої  $Na^+$ ,  $K^+$ -ATP-азної активності лімфоцитів крові донорів та хворих на PA і ACA від співвідношення  $Na^+$  і  $K^+$  у висхідній частині кривої натрієвої компоненти лінеаризовано у координатах Лайнуївера–Берка (графік не наведений).

Розрахунок кінетичних параметрів уабайнчутливої  $Na^+$ ,  $K^+$ -ATP-азної активності свідчить, що початкова максимальна швидкість гідролізу ATP сапонінперфорованими лімфоцитами крові донорів та хворих та PA та ACA, визначена за  $Na^+$  і уявна константа активації іонами  $Na^+$  у лімфоцитах крові хворих на PA та ACA вірогідно відрізняються у порівнянні з донорами (табл. 4). Це відповідає змішаному типу інгібування ензиму.

Отже, на підставі одержаних даних ми дійшли висновку, що при ревматичній патології в імунокомпетентних клітинах інгібується активність ензиму внаслідок зменшення числа його обертів. Можна припустити, що зниження величини  $V_{max}$  може бути пов'язане зі зменшенням  $Na^+/K^+$  електрохімічного градієнта цитоплазматичної мембрани лімфоцитів, зниженням кількості транспортувальних одиниць (зменшення їхньої експресії у мембрані), або зменшенням числа обертів ензиму. Зниження величини уявної константи активації  $K_{Na^+}$  у разі ревматичної патології вказує на зростання спорідненості  $Na^+$ ,  $K^+$ -ATP-ази до іонів Na. Іншими дослідниками встановлено [24], що має місце порушення спорідненості  $H^+/K^+$ -ATP-ази парієтальних клітин до  $K^+$  під час розвитку експериментальної виразки шлунка.

*Інгібіторний аналіз впливу уабайну на активність  $Na^+$ ,  $K^+$ -активованого,  $Mg^{2+}$ -*

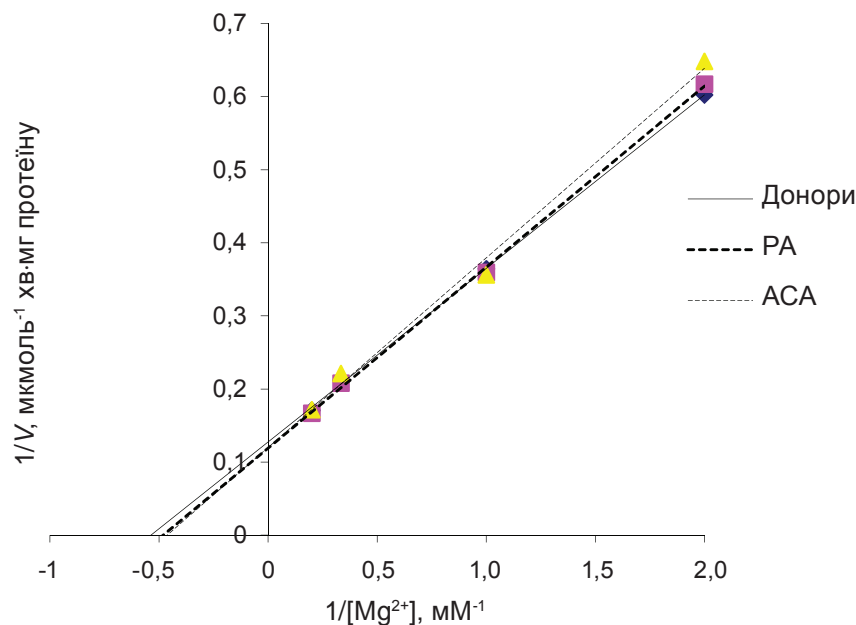


Рис. 7. Лінеаризація концентраційних кривих, наведених на рис. 6, у координатах Лайнуївера – Берка, де  $V$  – уабайнчутлива  $\text{Na}^+$ ,  $\text{K}^+$ -ATP-азна активність сапонінперфорованих лімфоцитів крові донорів і хворих на PA та ACA, ( $n = 4–6$ ;  $r > 0,95$ ;  $F < 0,001$ )

залежного гідролізу АТР лімфоцитами крові.  $\text{Na}^+$ ,  $\text{K}^+$ -активована,  $\text{Mg}^{2+}$ -залежна АТР-аза, яка поєднує транспортно-гідролітичну і рецепторну функцію, також специфічно взаємодіє з екзогенними інгібіторами – серцевими глікозидами або їх ендогенними аналогами [25, 26]. Кардіоактивний стероїд уабайн є високоселективним інгібітором  $\text{Na}^+$ ,  $\text{K}^+$ -ATP-ази. Уабайн зв'язується з ензимом із зовнішнього боку цитоплазматичної мембрани. Вважать, що уабайн блокує ензим у конформації Р- $E_2$ , запобігаючи подальшому перебігу каталітичного циклу. Уабайн в інтервалі концентрацій від  $10^{-6}$  до  $10^{-3}$  М дозалежно пригнічує уабайнчутливу  $\text{Na}^+$ ,  $\text{K}^+$ -ATP-азну активність лімфоцитів крові донорів та хворих на PA (рис. 9).

Встановлено, що характер інгібування уабайном для ензиму у нормі та при патології є однаковим (рис. 9). Для з'ясування параметрів інгібування  $\text{Na}^+$ ,  $\text{K}^+$ -ATP-ази уабайном проведено лінеаризацію концентраційних кривих у координатах Хілла (графік не наведений). Значення уявної константи інгібування уабайном та коефіцієнт Хілла у лімфоцитах крові донорів та хворих на PA вірогідно не відрізняються (табл. 5). Проте слід зазначити, що в експериментальних умовах (недостатній час для зв'язування уабайну у нестационарному режимі, антагонізм з  $\text{K}^+$  при його високих концентраціях у пробі) коефіцієнт інгібування не відповідає уявній константі інгібування, що визначається при досягненні стаціонарного рівня інгібування ензиму.

Таблиця 3. Кінетичні параметри, які характеризують  $\text{Na}^+$ ,  $\text{K}^+$ -активований,  $\text{Mg}^{2+}$ -залежний гідроліз АТР сапонінперфорованими лімфоцитами крові донорів і хворих на PA та ACA від концентрації  $\text{Mg}^{2+}$  ( $M \pm m$ ,  $n = 4–8$ )

Кінетичні параметри	Донори	Хворі на	
		PA	ACA
$V_{\max}$ , мкмоль $\text{P}_i/\text{хв}\cdot\text{мг}$ протеїну	$7,9 \pm 0,3$	$7,94 \pm 0,13$	$7,8 \pm 0,3$
$K_{\text{Mg}^{2+}}$ , мМ	$1,9 \pm 0,2$	$1,95 \pm 0,16$	$2,0 \pm 0,1$

$V_{\max}$  – початкова максимальна активність ензиму,  $K_{\text{Mg}^{2+}}$  – уявна константа активації  $\text{Mg}^{2+}$ . Зміни не є статистично вірогідними відносно величин контрольної групи

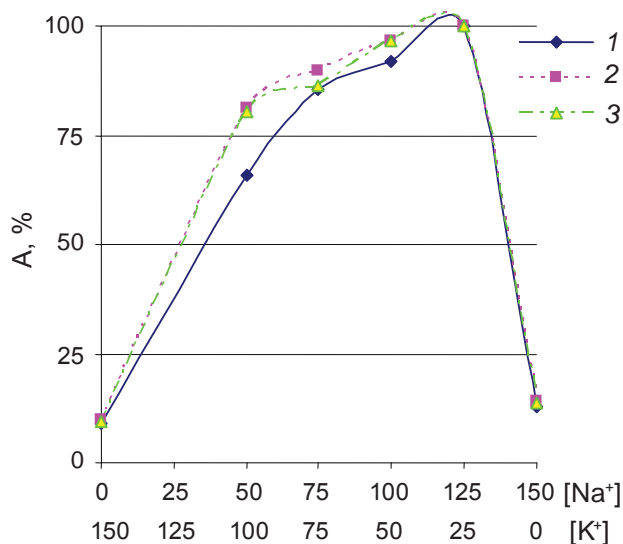


Рис. 8. Вплив співвідношення іонів  $\text{Na}^+$  і  $\text{K}^+$  (за ізотонічних умов  $\text{Na}^+ + \text{K}^+ = 150 \text{ mM}$ ) на активність уабайчутливої  $\text{Na}^+, \text{K}^+$ -ATP-ази сапонінперфорованих лімфоцитів крові донорів (1) і хворих на РА (2) та АСА (3),  $M \pm m$ ,  $n = 4$ . За 100 % прийнято ензиматичну активність при оптимальному співвідношенні  $\text{Na}^+$  і  $\text{K}^+$ .

Параметри інгібування характеризують високочутливий до уабайну фенотип  $\text{Na}^+, \text{K}^+$ -ATP-ази в зазначеніх експериментальних умовах інгібування. Він визначається подібністю структури рецепторної ділянки [27], що є характерним для всіх ізоензимів  $\text{Na}^+, \text{K}^+$ -ATP-ази у людини [28].

Отже,  $\text{Na}^+, \text{K}^+$ -ATP-аза лімфоцитів периферичної крові хворих на РА і АСА зберігає свої нативні рецепторні властивості – чутливість до інгібування уабайном не змінюється. Збереження нативних рецепторних властивостей  $\text{Na}^+, \text{K}^+$ -ATP-ази до уабайну показано у клітинах карциноми товстої кишки людини [29]. Водночас, іншими дослідниками встановлено, що у хворих на мігрень має місце

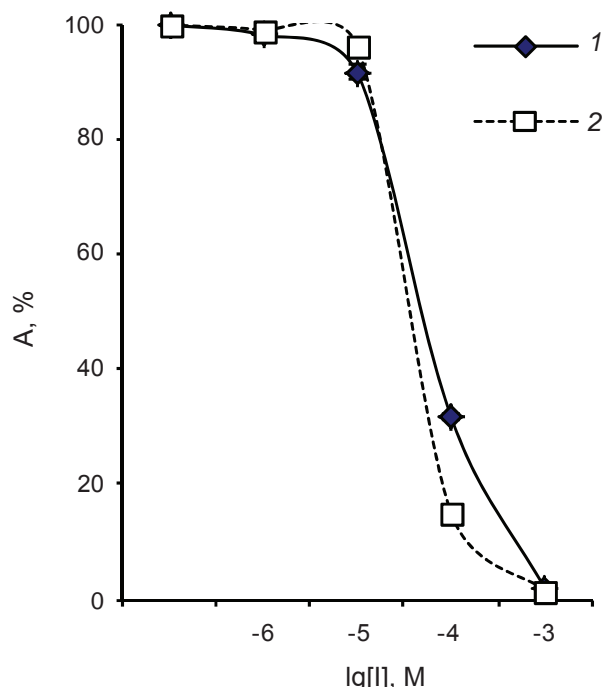


Рис. 9. Інгібування уабайном  $\text{Na}^+, \text{K}^+$ -ATP-азої активності сапонінперфорованих лімфоцитів крові донорів (1) та хворих на РА (2),  $M \pm m$ ,  $n = 6$ . За 100% прийнято ензиматичну активність  $\text{Na}^+, \text{K}^+$ -ATP-ази за відсутності в інкубаційному середовищі уабайну

зміна кінетики зв'язування уабайну з  $\text{Na}^+, \text{K}^+$ -ATP-азою лімфоцитів і що це може бути корисним інструментом у діагностиці цієї хвороби [30].

Таким чином, нами показано дефект гідролазної активності уабайчутливої  $\text{Na}^+, \text{K}^+$ -ATP-ази лімфоцитів крові у хворих на РА і АСА, що свідчить про можливі порушення первинноактивного транспортування  $\text{Na}^+$  та  $\text{K}^+$ . За оцінкою змін гідролазної активності встановлено, що у лімфоцитах периферичної крові хворих на РА і АСА транспортування

Таблиця 4. Кінетичні параметри, які характеризують  $\text{Na}^+, \text{K}^+$ -активований,  $\text{Mg}^{2+}$ -залежний гідроліз ATP сапонінперфорованими лімфоцитами крові донорів і хворих на РА та АСА від співвідношення  $\text{Na}^+$  і  $\text{K}^+$  (за ізотонічних умов  $\text{Na}^+ + \text{K}^+ = 150 \text{ mM}$ ),  $M \pm m$ ,  $n = 4-8$

Кінетичні параметри	Донори	Хворі на	
		РА	АСА
$V_{\max}$ , мкмоль $\text{P}_i/\text{хв}\cdot\text{мг}$ протеїну	$7,74 \pm 0,29$	$5,32 \pm 0,16^{***}$	$5,52 \pm 0,01^{***}$
$K_{\text{Na}^+}$ , mM	$66,68 \pm 3,40$	$23,70 \pm 3,25^{***}$	$24,68 \pm 0,28^{***}$

$V_{\max}$  – початкова максимальна активність ензиму,  $K_{\text{Na}^+}$  – уявна константа активації  $\text{Na}^+$ . Зміни вірогідні відносно контрольної групи, \*\*\*  $P < 0,001$

*Таблиця 5. Кінетичні параметри інгібувальної дії уабайну на активність  $\text{Na}^+$ ,  $\text{K}^+$ -ATP-ази сапонін-перфорованих лімфоцитів крові донорів та хворих на РА ( $M \pm m$ ,  $n = 6$ )*

Кінетичні параметри	Донори	Хворі на РА
$I_{0,5}$ , мкМ	$42,7 \pm 0,7$	$35,8 \pm 4,7$
$n_H$	$1,13 \pm 0,02$	$1,2 \pm 0,1$

Примітка:  $I_{0,5}$  – уявна константа інгібування,  $n_H$  – коефіцієнт Хілла

$\text{Na}^+$ ,  $\text{K}^+$  за участю  $\text{Na}^+$ ,  $\text{K}^+$ -ATP-ази відбувається повільніше у порівнянні із донорами, але має практично однакову ємність з ними. Виявлено, що в умовах розвитку ревматичної патології спорідненість  $\text{Na}^+$ ,  $\text{K}^+$ -ATP-ази до АТР у лімфоцитах крові хворих на РА та АСА знижується, водночас,  $\text{Mg}^{2+}$ -зв'язувальна ділянка уабайнчутливої  $\text{Na}^+$ ,  $\text{K}^+$ -ATP-ази лімфоцитів хворих на РА і АСА залишається нативною. Відмічається, також, збільшення спорідненості  $\text{Na}^+$ ,  $\text{K}^+$ -ATP-ази лімфоцитів крові до іонів  $\text{Na}^+$  і збереження рецепторних властивостей  $\text{Na}^+$ ,  $\text{K}^+$ -ATP-ази до уабайну у хворих на РА і АСА.

Результати досліджень можуть бути використані для подальшого з'ясування мембраних механізмів іонного обміну в імуноактивних клітинах при автоімунних захворюваннях.

### КІНЕТИЧЕСКИЕ СВОЙСТВА $\text{Na}^+$ , $\text{K}^+$ -ATP-АЗЫ ЛІМФОЦІТОВ КРОВІ У БОЛЬНЫХ РЕВМАТОИДНЫМ АРТРИТОМ И АНКІЛОЗИРУЮЩИМ СПОНДІОАРТРИТОМ

*P. V. Fafula, U. P. Efremova,  
N. E. Lychkovskaya, Z. D. Vorobets*

Львівський національний медичинський університет імені Данила Галицького, Україна;  
e-mail: roman\_fafula@ukr.net,  
vorobets@meduniv.lviv.ua

Проведен аналіз кінетических свойств уабайнчувствительної  $\text{Na}^+$ ,  $\text{K}^+$ -ATP-азої активності сапонінперфорованих лімфоцитів крові донорів і больних ревматоїдним артритом (РА) і анкілозуючим спондіоартритом (АСА). На основании изменения гидролазної активности  $\text{Na}^+$ ,  $\text{K}^+$ -ATP-ази установлено, что в лімфоцитах крові больных РА і АСА первичноактивный транспорт іонів  $\text{Na}^+$ ,  $\text{K}^+$  проходить менше інтенсивно по сравнению з донорами, але характеризується з ними практично одинаковою ємкостю. Константа сродства до АТР в лімфоцитах крові больних

РА і АСА превышает ее значение по сравнению с донорами в 3,1 и 2,5 раза соответственно. Показано, что в условиях развития ревматической патологии в иммунокомпетентных клетках ингибирование активности уабайнчувствительной  $\text{Na}^+$ ,  $\text{K}^+$ -ATP-азы происходит не за счет уменьшения числа оборотов, а за счет снижения сродства энзима к АТР. Одновременно  $\text{Mg}^{2+}$ -связывающий участок уабайнчувствительной  $\text{Na}^+$ ,  $\text{K}^+$ -ATP-азы лімфоцитов больных РА і АСА остается нативным. Отмечается также, что константа сродства  $\text{Na}^+$ ,  $\text{K}^+$ -ATP-азы лімфоцитов крові больных РА і АСА к іонам  $\text{Na}^+$  в 2,75 раза меньше, чем у доноров. Показано, что  $\text{Na}^+$ ,  $\text{K}^+$ -ATP-аза лімфоцитов крові больных РА і АСА сохраняет свои рецепторные свойства, а чувствительность к ингибированию уабайном не меняется.

**Ключевые слова:**  $\text{Na}^+$ ,  $\text{K}^+$ -ATP-аза, лімфоцити, ревматоїдний артрит, анкілозирующий спондіоартрит.

### KINETIC PROPERTIES OF $\text{Na}^+$ , $\text{K}^+$ -ACTIVATED, $\text{Mg}^{2+}$ -DEPENDENT ATP-HYDROLYSIS OF BLOOD LYMPHOCYTES IN PATIENTS WITH RHEUMATOID ARTHRITIS AND ANKYLOSING SPONDYLOARTHRITIS

*R. V. Fafula, U. P. Efremova,  
N. E. Lychkovskaya, Z. D. Vorobets*

Danylo Halytski Lviv National Medical University, Ukraine;  
e-mail: roman\_fafula@ukr.net,  
vorobets@meduniv.lviv.ua

### Summary

The comparative analysis of the kinetic properties of ouabain-sensitive  $\text{Na}^+$ ,  $\text{K}^+$ -ATPase activity of saponin-perforated blood lymphocytes of donors and patients with rheumatoid arthritis (RA) and ankylosing spondyloarthritis (AS) was carried out. When analyzing the alterations in hydrolase activity of the examined enzyme it was shown that in the blood lymphocytes of patients

with RA and AS the primary active transport of  $\text{Na}^+$  and  $\text{K}^+$  ions is less intensive in comparison with practically healthy donors, but it is characterized by almost the same capacity as in donors. The affinity constant of  $\text{Na}^+$ ,  $\text{K}^+$ -ATPase for ATP in the blood lymphocytes in patients with RA and AS is greater 3.1 and 2.5 times, respectively, in comparison with healthy donor. It was found that in conditions of rheumatic pathology in immunocompetent cells the inhibition of  $\text{Na}^+$ ,  $\text{K}^+$ -ATPase activity is not related to the reduction of maximum reaction rate, but is related to the decrease of  $\text{Na}^+$ ,  $\text{K}^+$ -ATPase affinity to ATP. However,  $\text{Mg}^{2+}$ -binding center of  $\text{Na}^+$ ,  $\text{K}^+$ -ATPase in patients with RA and AS remains native. It was identified that the affinity constant of  $\text{Na}^+$ ,  $\text{K}^+$ -ATPase to  $\text{Na}^+$  ions in the blood lymphocytes of patients with RA and AS is 2.75 times lower than its value in healthy donors.  $\text{Na}^+$ ,  $\text{K}^+$ -ATPase of the blood lymphocytes of patients with RA and AS retains its native receptor properties and sensitivity to ouabain does not change.

**Key words:**  $\text{Na}^+$ ,  $\text{K}^+$ -ATPase, lymphocytes, rheumatoid arthritis, ankylosing spondyloarthritis.

1. Коваленко В. М., Корнацький В. М. Хвороби системи кровообігу: динаміка та аналіз (аналітично-статистичний посібник). – Київ, МПП “Лино”, 2008. – 111 с.
2. Коваленко В. М., Борткевич О. П., Білявська Ю. В. // Здоров'я України. – 2010. – № 1. – С. 74–77.
3. Свінціцький А. С. // Здоров'я України. – 2010. – № 5/1. – С. 75–79.
4. Масик О. М., Швед М. І., Козій Н. І. Анкілозивний спондилоартрит (хвороба Бехтерева). – Тернопіль: ТДМУ, 2007. – 308 с.
5. Пішак О. В., Пішак В. П. // Буковин. мед. вісн. – 2002. – 6, № 2. – С. 169–174.
6. Петров А. В., Дударь Л. В., Малый К. Д. // Тер. архив. – 2004. – № 5. – С. 32–35.
7. Воробьев А. И., Васильев С. А., Городецкий В. М. // Тер. архив. – 2002. – № 7. – С. 76–80.
8. Boyum A. // Scand. J. Clin. Lab. Invest. – 1968. – 21 (Supp. 97). – P. 77–79.
9. Mishell B. B., Shiigi S. M. Selected Methods in Cellular Immunology / San Francisko; W. H. Freeman and Company. – 1980. – 486 p.
10. Кимакович О. В., Підковка Н. О., Воробець З. Д. // Практ. медицина. – 2004. – 10, № 2. – С. 86–89.

11. Lowry O. H., Rosebrough N. J., Farr A. L. et al. // J. Biol. Chem. – 1951. – 193. – P. 265–275.
12. Flynn E. R. M., Bradley K. N., Muir T. C. et al. // J. Biol. Chem. – 2001. – 276, N 39. – P. 36411–36418.
13. Rathbun W., Betlach V. // Anal. Biochem. – 1969. – 28. – P. 436–447.
14. Valente R. C., Capella L. S., Monteiro R. Q. et al. // FASEB J. – 2003. – 17, N 12. – P. 1700–1702.
15. Wang H., Haas M., Liang M. et al. // J. Biol. Chem. – 2004. – 279, N 17. – P. 17250–17259.
16. Костерин С. А., Бурчинская Н. Ф. // Укр. біохім. журн. – 1987. – 59, № 2. – С. 66–69.
17. Келети Т. / Основы ферментативной кинетики: Пер. с англ. – М: Мир, 1990. – 350 с.
18. Курский М. Д., Костерин С. А. / Биохимическая кинетика: Учеб. пособие для вузов / М. Д. Курский, С. А. Костерин, В. К. Рыбальченко. – К.: Вища шк., 1977. – 264 с.
19. Gutmann H. R., Chow Y. M., Vessells R. L. et al. // Blood. – 1983. – 62, N 5. – P. 1041–1046.
20. Гребінік С. М., Артеменко О. Ю., Гринюк І. І. та ін. // Укр. біохім. журн. – 2009. – 81, № 2. – С. 27–33.
21. Di Virgillio // Immunol. Today. – 1995. – N 16. – P. 254–258.
22. Bodin P., Burlstock G. // Neurochem. Res. – 2001. – 26, N 15. – P. 959–969.
23. Connolly B. A., Echstein F. // J. Biol. Chem. – 1981. – 256, N 18. – P. 9450–9456.
24. Строцька Е. А., Раєцька Я. Б., Остапченко Л. І. // Вісник КНУ ім. Т. Шевченка. – 2010. – № 24 (211). – С. 83–88.
25. Капля А. А. // Укр. біохім. журн. – 1997. – 69, № 5–6. – С. 12–24.
26. Лопина О. Д. // Биол. мембрани. – 1999. – 16, № 6. – С. 584–603.
27. Капля А. А., Кравцов А. В. // Успехи совр. біології. – 1999. – 119, № 1. – С. 90–100.
28. Crambert G., Hasler U., Begagh A. T. et al. // J. Biol. Chem. – 2000. – 275, N 3. – P. 1976–1986.
29. Капля О. А., Кудрявцева А. Г., Горчев В. Ф. та ін. // Укр. біохім. журн. – 2006. – 78, № 2. – С. 142–148.
30. Scarrone S., Podesta M., Cupello A. et al. // Cephalgia. – 2007. – 27, N 2. – P. 128–132.

Отримано 17.01.2012